

Signaux et Systèmes

Cours n°4

Mohamed CHETOUANI
Professeur des Universités
Institut des Systèmes Intelligents et de Robotique (ISIR)
Sorbonne Université

mohamed.chetouani@sorbonne-universite.fr



Résumé cours 3

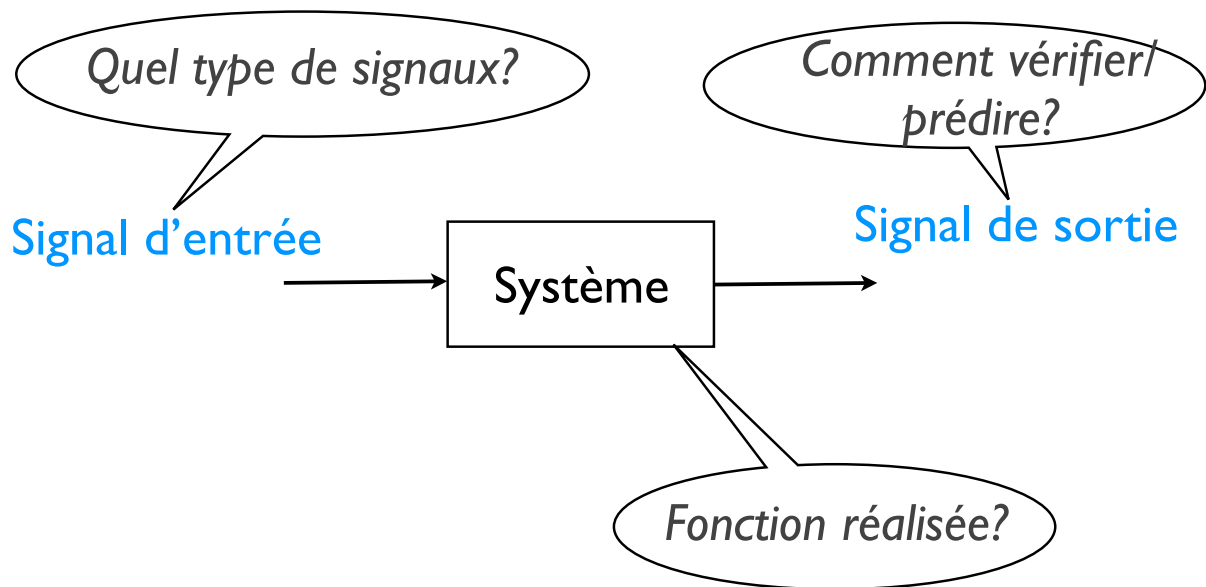
- Modélisation de la réponse d'un système par un produit de convolution
- Propriétés du produit de convolution
- Théorème de Plancherel
- Relation TF - Série de Fourier

Plan

- Corrélation de signaux
- Modulation

Introduction

- Quelles sont les questions liées à l'UE 3E100



Corrélation

- **Définition:**
- «Comparaison» de deux signaux
- Soient $x(t)$ et $y(t)$ deux signaux à énergie finie, la fonction d'intercorrélation $C_{xy}(\tau)$ est définie par:

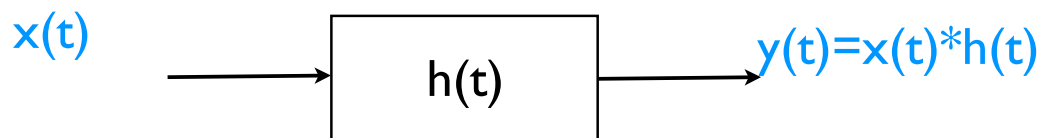
$$C_{xy}(\tau) = \int_{-\infty}^{+\infty} x(t)y^*(t - \tau)dt$$



Corrélation

$$C_{xy}(\tau) = \int_{-\infty}^{+\infty} x(t)y^*(t - \tau)dt$$

- *Attention à ne pas confondre avec le produit de convolution*



$$y(t) = x(t) * h(t) = \int_{-\infty}^{+\infty} x(\tau)h(t - \tau)d\tau$$

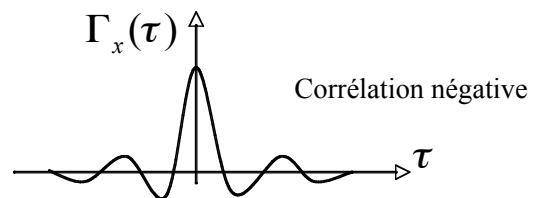
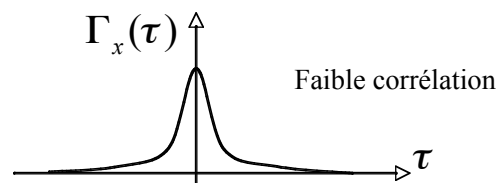
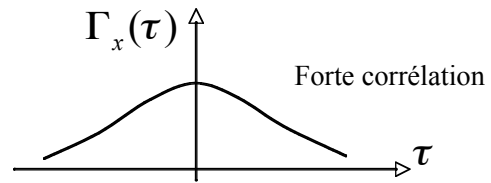
Corrélation

- L'intercorrélation mesure les similitudes en forme et en position des signaux.
- Ces similitudes peuvent évoluer au cours du temps τ
- $C_{xy}(\tau)$ restitue l'énergie d'interaction entre les signaux $x(t)$ et $y(t-\tau)$.
- Si $C_{xy}(\tau)=0$ on dit que les signaux $x(t)$ et $y(t)$ sont décorrélés

$$C_{xy}(\tau) = \int_{-\infty}^{+\infty} x(t)y^*(t - \tau)dt$$

Corrélation

- Interprétation graphique

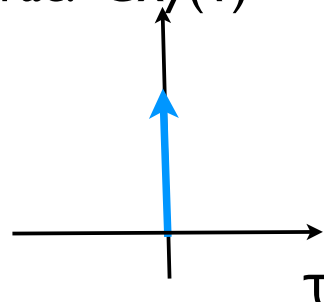


Corrélation

- Quel est le cas limite?

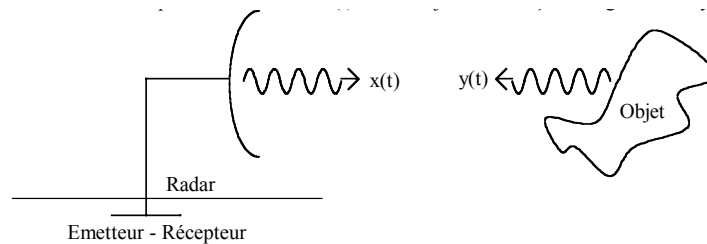
$$C_{xx}(\tau) = \delta(\tau)$$

Dirac: $C_{xy}(\tau)$



Corrélation

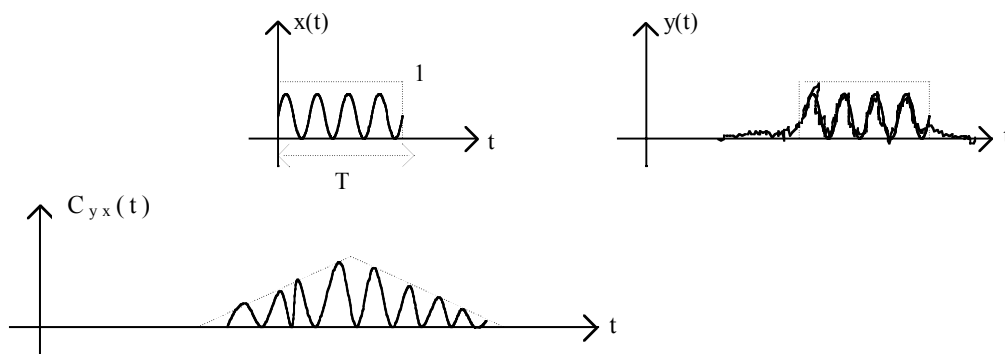
- Exemple I:
- Un radar émet une onde sinusoïdale $x(t)$ sur un objet fixe et reçoit le signal bruité $y(t)$



Calcul de la distance de l'objet

Corrélation

- Exemple I:
- Estimation de la distance

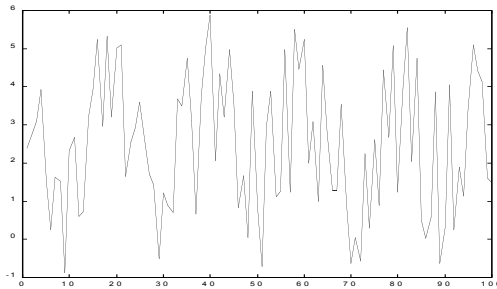


Le maximum τ_0 donne la distance à l'objet (v_0 vitesse de propagation de l'onde)

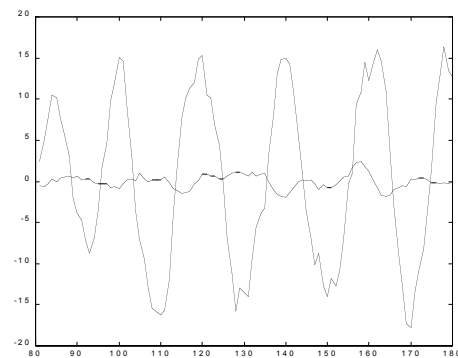
$$d = \frac{v_0 \tau_0}{2} \leftarrow \text{trajet Aller et Retour}$$

Corrélation

- Exemple 2:
- Détection de signaux périodiques dans un contexte bruité



Auto-corrélation



Corrélation

- Auto-corrélation: indicateur de la déformation d'un signal au cours du temps

$$C_{xx}(\tau) = \int_{-\infty}^{+\infty} x(t)x^*(t - \tau)dt$$

- L'auto-corrélation possède la **dimension d'une puissance** et

$$C_{xx}(0) = \int_{-\infty}^{+\infty} x(t)x^*(t - 0)dt = \int_{-\infty}^{+\infty} |x(t)|^2 dt$$

est l'énergie totale

Propriétés

- La fonction d'intercorrélation vérifie la relation:

$$C_{xy}(\tau) = C_{yx}^*(-\tau)$$

Dem:

$$C_{xy}(\tau) = \int_{-\infty}^{+\infty} x(t) y^*(t - \tau) dt \underset{t - \tau = t'}{=} \left[\int_{-\infty}^{+\infty} x^*(t' + \tau) y(t') dt' \right]^* = \left[\int_{-\infty}^{+\infty} y(t') x^*(t' - (-\tau)) dt' \right]^*$$

D'où:

$$C_{xy}(\tau) = C_{yx}^*(-\tau)$$

Si $x(t)$ est réel, sa fonction d'autocorrélacion est paire

Propriétés

- L'énergie totale E_x d'un signal $x(t)$ est donné par:

$$E_x = \int_{-\infty}^{+\infty} |x(t)|^2 dt = C_{xx}(0) > 0$$

- Le théorème de Cauchy-Schwartz conduit aux relations suivantes:

$$|C_{xx}(\tau)| \leq C_{xx}(0) \quad \forall \tau$$

$$|C_{xy}(\tau)|^2 \leq C_{xx}(0) C_{yy}(0) \quad \forall \tau$$

Théorème de Wiener-Kintchine

- Soient $x(t)$ et $y(t)$ deux signaux à énergie finie. La TF de la fonction d'intercorrélation est égale à la densité interspectrale d'énergie (densité spectrale mutuelle)

$$TF[C_{xy}(\tau)] = S_{xy}(f) = X(f)Y^*(f)$$

Théorème de Wiener-Kintchine

- Démonstration

$$TF[C_{xy}(\tau)] = S_{xy}(f) = X(f)Y^*(f)$$

$$TF\{C_{xy}(\tau)\} = \int_{-\infty}^{+\infty} C_{xy}(\tau) e^{-j2\pi f\tau} d\tau = S_{xy}(f)$$

$$S_{xy}(f) = \int_{-\infty}^{+\infty} \left[\int_{-\infty}^{+\infty} x(t) y^*(t-\tau) dt \right] e^{-j2\pi f\tau} d\tau = \int_{-\infty}^{+\infty} x(t) \left[\int_{-\infty}^{+\infty} y^*(t-\tau) e^{-j2\pi f\tau} d\tau \right] dt$$

\uparrow
 $\tau' = t - \tau$

$$= \int_{-\infty}^{+\infty} x(t) e^{-j2\pi ft} dt \int_{-\infty}^{+\infty} y^*(t') e^{+j2\pi ft'} dt'$$

$$= X(f) \left[\int_{-\infty}^{+\infty} y(t') e^{-j2\pi ft'} dt' \right]^* = X(f)Y^*(f)$$

Théorème de Wiener-Kintchine

- TF de l'autocorrélation

$$TF[C_{xx}(\tau)] = S_{xx}(f) = X(f)X^*(f) = |X(f)|^2$$

- Densité spectrale d'énergie

Relation convolution - corrélation

- Si $C_{xy}(\tau)$ est l'intercorrélation des signaux $x(t)$ et $y(t)$ alors :

$$C_{xy}(\tau) = x(\tau) * y^*(-\tau)$$

$$TF\{C_{xy}(\tau)\} = S_{xy}(f) = X(f) Y^*(f)$$

$$\text{d'où : } C_{xy}(\tau) = TF^{-1}\{S_{xy}(f)\} = x(t) * TF^{-1}\{Y^*(f)\}$$

$$TF^{-1}\{Y^*(f)\} = \int_{-\infty}^{+\infty} Y^*(f) e^{j2\pi f\tau} df = \left[\int_{-\infty}^{+\infty} Y(f) e^{j2\pi f(-\tau)} df \right]^* = y^*(-\tau)$$

Cas des signaux à puissance moyenne finie

- Dans le cas de signaux réels à puissance moyenne finie, nous avons:

$$x(t) * y(t) = \lim_{T \rightarrow \infty} \frac{1}{T} \int_{-\frac{T}{2}}^{+\frac{T}{2}} x(u)y(t-u)du$$

$$C_{xy}(\tau) = \lim_{T \rightarrow \infty} \frac{1}{T} \int_{-\frac{T}{2}}^{+\frac{T}{2}} x(t)y(t-\tau)dt$$

- Et pour les signaux périodiques:

$$x(t) * y(t) = \frac{1}{T} \int_{-\frac{T}{2}}^{+\frac{T}{2}} x(u)y(t-u)du$$

$$C_{xy}(\tau) = \frac{1}{T} \int_{-\frac{T}{2}}^{+\frac{T}{2}} x(t)y(t-\tau)dt$$

Exemple

- Autocorrélation d'un cosinus

$$x(t) = \cos(2\pi f_0 t)$$

$$C_{xx}(\tau) = \frac{1}{T} \int_{(T)} \cos(2\pi f_0 t) \cos(2\pi f_0 (t - \tau)) dt$$

$$\cos a \cos b = \frac{1}{2} [\cos(a+b) + \cos(a-b)]$$

$$\sin a \sin b = -\frac{1}{2} [\cos(a+b) - \cos(a-b)]$$

$$\sin a \cos b = \frac{1}{2} [\sin(a+b) + \sin(a-b)]$$

$$C_{xx}(\tau) = \frac{1}{2T} \int_{(T)} \cos(2\pi f_0 t + 2\pi f_0 t - 2\pi f_0 \tau) + \cos(2\pi f_0 t - 2\pi f_0 t + 2\pi f_0 \tau) dt$$

Exemple

- Autocorrélation d'un cosinus

$$x(t) = \cos(2\pi f_0 t)$$

$$C_{xx}(\tau) = \frac{1}{2T} \int_{(T)} \cos(2\pi f_0 t + 2\pi f_0 t - 2\pi f_0 \tau) + \cos(2\pi f_0 t - 2\pi f_0 t + 2\pi f_0 \tau) dt$$

$$C_{xx}(\tau) = \frac{1}{2T} \int_{(T)} \cos(4\pi f_0 t - 2\pi f_0 \tau) dt + \frac{1}{2T} \int_{(T)} \cos(2\pi f_0 \tau) dt$$

$$\begin{aligned} C_{xx}(\tau) &= \frac{1}{2T} \int_{(T)} \cos(2\pi f_0 \tau) dt \\ &= \cos(2\pi f_0 \tau) \frac{1}{2T} \int_{(T)} dt = \frac{1}{2} \cos(2\pi f_0 \tau) \end{aligned}$$

Exemple

- Autocorrélation d'un cosinus

$$x(t) = \cos(2\pi f_0 t)$$

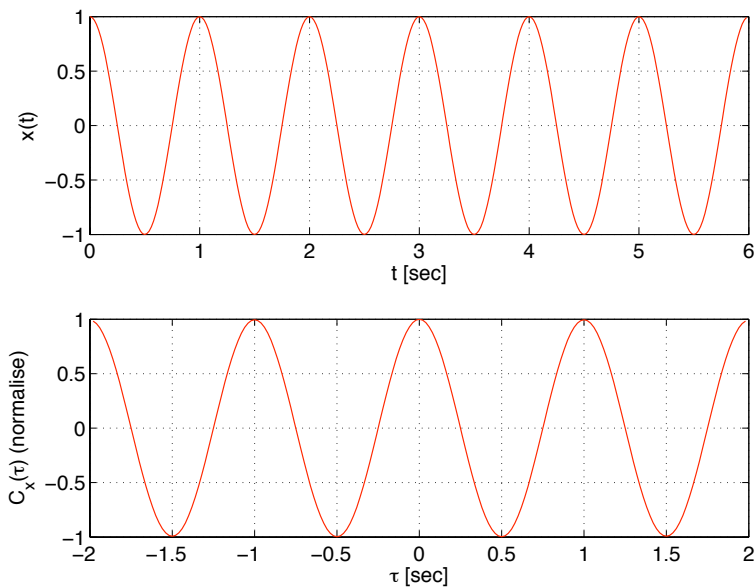
$$C_{xx}(\tau) = \frac{1}{2} \cos(2\pi f_0 \tau)$$

- Puissance moyenne du signal:

$$C_{xx}(0) = \frac{1}{2}$$

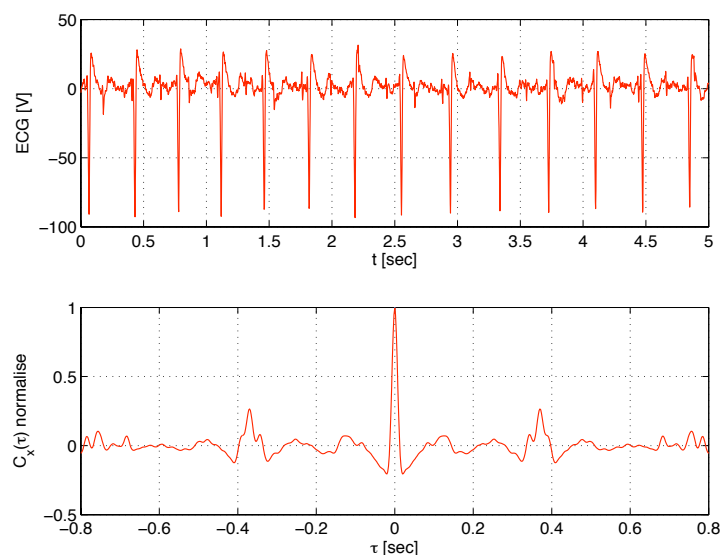
Exemple

- Autocorrélation d'un cosinus



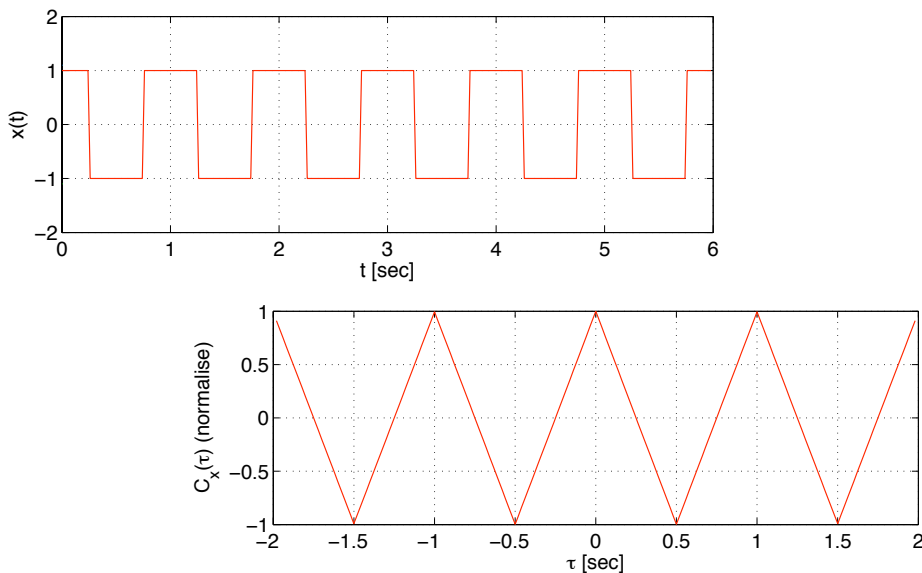
Exemple

- Autocorrélation d'un signal ECG:
- Caractérisation de la période





- Forme de l'autocorrélation



Normalisation

- Exploitation du théorème de Cauchy-Schwartz

$$|C_{xx}(\tau)| \leq C_{xx}(0) \quad \forall \tau$$

- Auto-corrélation normalisée:

$$\Gamma_{xx}(\tau) = \frac{C_{xx}(\tau)}{C_{xx}(0)} \quad 0 \leq \Gamma_{xx}(\tau) \leq 1$$

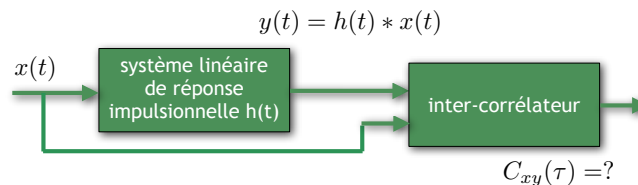
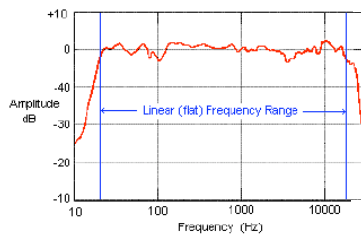
- Même opération pour l'intercorrélation:

$$|C_{xy}(\tau)|^2 \leq C_{xx}(0)C_{yy}(0) \quad \forall \tau$$

$$\Gamma_{xy}(\tau) = \frac{C_{xy}(\tau)}{\sqrt{C_{xx}(0)C_{yy}(0)}}$$

Application à la caractérisation de la réponse d'un système

- Considérons le système suivant:



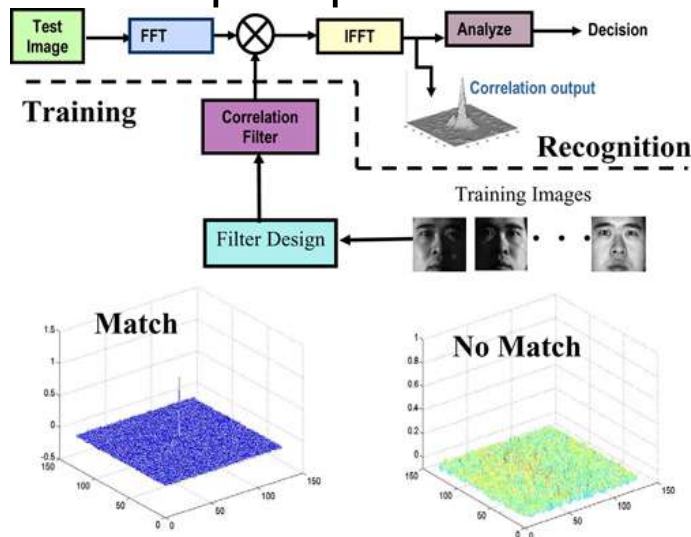
Application à la caractérisation de la réponse d'un système

- Effet du système sur la corrélation:

$$\begin{aligned}
 C_{yx}(\tau) &= \int_{-\infty}^{+\infty} y(t) x(t - \tau) dt \\
 &= \int_{-\infty}^{+\infty} [h(t) * x(t)](t) x(t - \tau) dt \\
 &= h(\tau) * \int_{-\infty}^{+\infty} x(t) x(t - \tau) dt \\
 &= h(\tau) * C_x(\tau)
 \end{aligned}$$

Application à la biométrie

- Schéma de principe

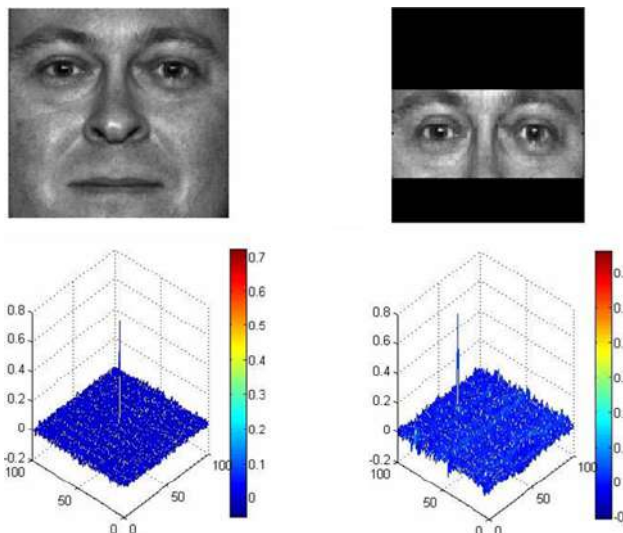


Correlation pattern recognition for biometrics

Vijayakumar Bhagavatula, Marios Savvides, DOI: 10.1117/2.1200604.0143

Application à la biométrie

- Exemples de corrélation



Correlation pattern recognition for biometrics

Vijayakumar Bhagavatula, Marios Savvides, DOI: 10.1117/2.1200604.0143

- Cas d'un signal sinusoïdal (message)
 - Principe: un signal V modulé en amplitude est un signal constitué par une porteuse sinusoïdale de fréquence f_p dont l'amplitude est modifiée suivant une loi linéaire par le signal informatif $s(t)$.
 - Exemple:

$$s(t) = \cos(2\pi f_0 t)$$

- Cas d'un signal sinusoïdal (message)
 - La modulation d'amplitude consiste, dans le cas général, à calculer:

$$V = A[1 + m \cos(2\pi f_0 t)] \cos(2\pi f_p t + \phi)$$

- Et par développement:

$$V = A \cos(2\pi f_p t + \phi) + A \frac{m}{2} [\cos(2\pi(f_p - f_0)t + \phi) + \cos(2\pi(f_p + f_0)t + \phi)]$$

$$V = A \cos(2\pi f_p t + \phi) + A \frac{m}{2} [\cos(2\pi(f_p - f_0)t + \phi) + \cos(2\pi(f_p + f_0)t + \phi)]$$

- Le spectre se compose donc de 3 raies:
 - f_p = onde de la porteuse
 - $f_p - f_0$ = raie de la bande latérale inférieure
 - $f_p + f_0$ = raie de la bande latérale supérieure
- La largeur spectrale occupée est de $2f_0$

$$V = A \cos(2\pi f_p t + \phi) + A \frac{m}{2} [\cos(2\pi(f_p - f_0)t + \phi) + \cos(2\pi(f_p + f_0)t + \phi)]$$

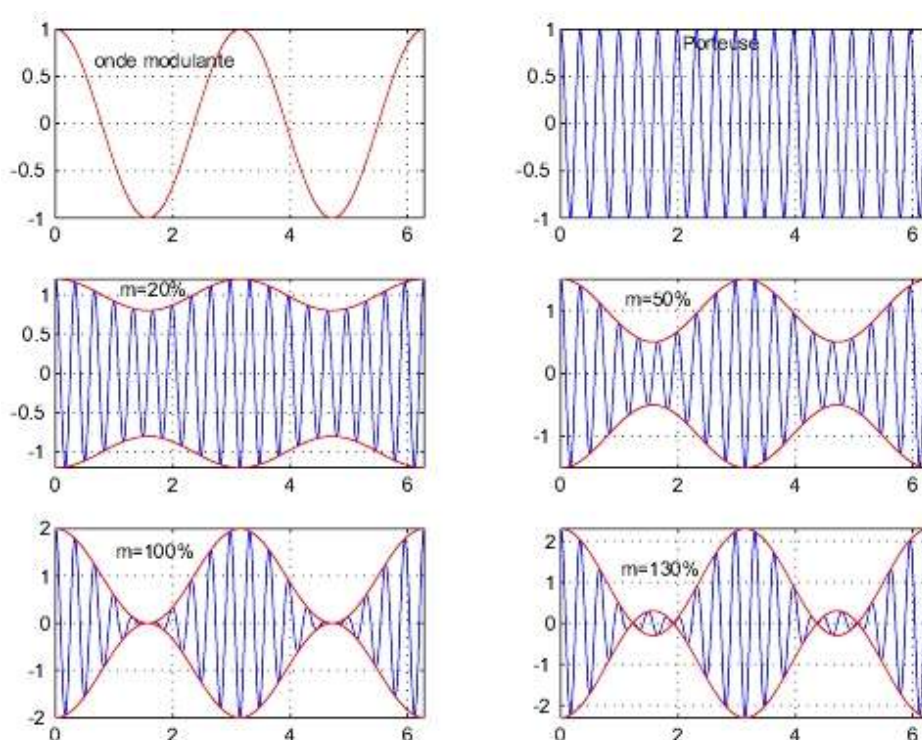
- m est un paramètre important de la modulation d'amplitude (souvent exprimé en %): Taux de modulation
- Forme de l'onde: Dans le cas où l'amplitude maximale du signal est égale à 1, l'amplitude positive du signal modulé varie de $A[1+m]$ à $A[1-m]$, et l'amplitude négative de $-A[1+m]$ à $-A[1-m]$.

$$V = A[1 + m \cos(2\pi f_0 t)] \cos(2\pi f_p t + \phi)$$

$$V = A[1 + m \cos(2\pi f_0 t)] \cos(2\pi f_p t + \phi)$$

- m est un paramètre important de la modulation d'amplitude (souvent exprimé en %): Taux de modulation
- m est défini par le rapport suivant:

$$m = \frac{V_{max} - V_{min}}{V_{max} + V_{min}}$$



- Cas général $s(t)$ (périodique)
- Dans ce cas, le signal $s(t)$ peut s'exprimer suivant sa décomposition en série de Fourier:

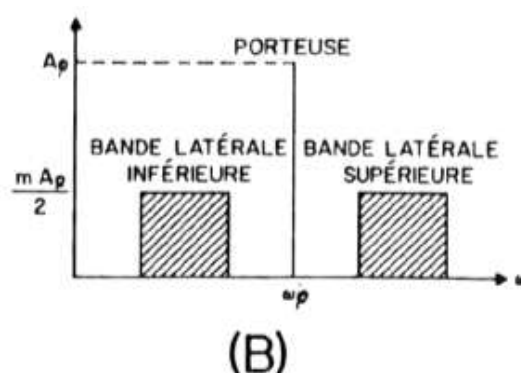
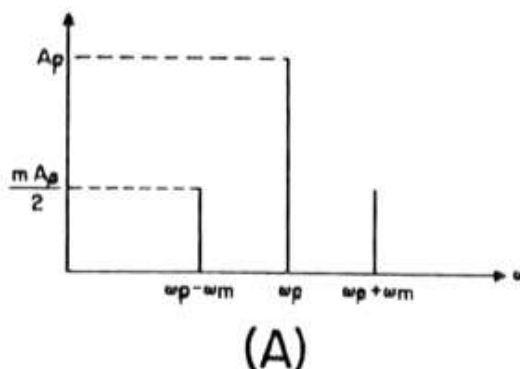
$$s(t) = \sum_{i=0}^N a_i \cos(2\pi f_i t)$$

- La modulation s'écrit avec le même principe:

$$V = A \left[1 + \sum_{i=0}^N m_i \cos(2\pi f_i t) \right] \cos(2\pi f_p t + \phi)$$

- Bande de fréquence nécessaire:
- Si l'on désire transmettre par un même canal plusieurs informations, l'écart minimal entre les porteuses doit être de $2f_0$ ou $2f_{\max}$

$$V = A \cos(2\pi f_p t + \phi) + A \frac{m}{2} [\cos(2\pi(f_p - f_0)t + \phi) + \cos(2\pi(f_p + f_0)t + \phi)]$$



Exploitation du théorème de Plancherel

- Et dans le domaine de Fourier

- Considérons le signal $x(t)$ dont la bande passante est $[-4\text{kHz}, 4\text{kHz}]$

- On réalise la modulation suivante:

$$y(t) = x(t) \cos(2\pi f_p t)$$

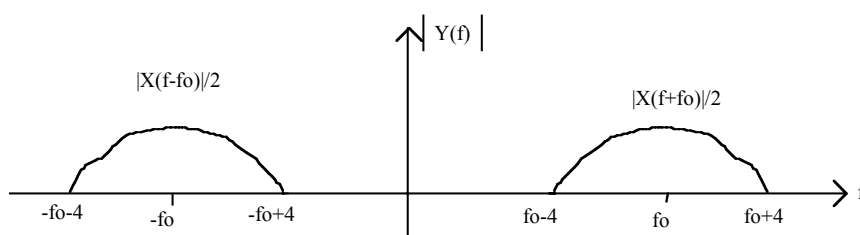
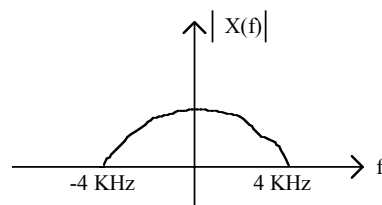
- Dont la TF est:

$$Y(f) = X(f) * \frac{[\delta(f - f_p) + \delta(f + f_p)]}{2}$$

$$Y(f) = \frac{[X(f - f_p) + X(f + f_p)]}{2}$$

Exploitation du théorème de Plancherel

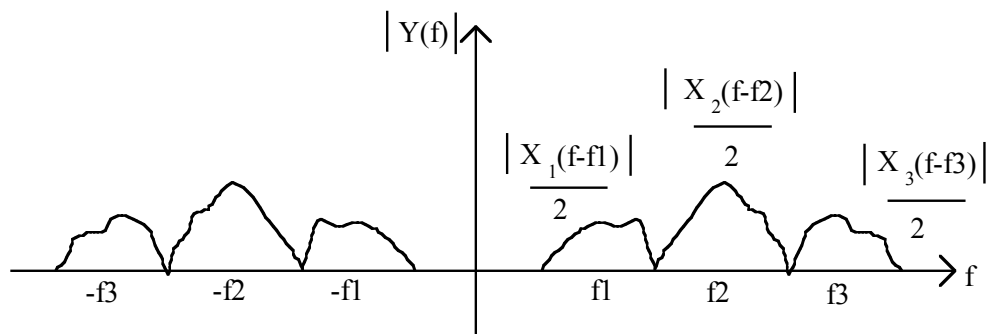
- Illustration graphique:



Exploitation du théorème de Plancherel

- Illustration graphique du multiplexage fréquentiel

$$y(t) = x_1(t) \cos(2\pi f_1 t) + \dots + x_n(t) \cos(2\pi f_n t)$$



Puissance en modulation d'amplitude

- Puissance moyenne de l'onde porteuse:

$$P_p = \frac{1}{T_p} \int_0^{T_p} V^2 dt$$

- Et pour une porteuse sinusoïdale: $P_p = \frac{A^2}{2}$

- Puissance crête de l'onde modulée en amplitude:

- Puissance moyenne obtenue lorsque le signal modulant est maximum:

$$P_c = P_p [1 + m]^2$$

- Puissance moyenne de l'onde modulée en amplitude:

- On montre que la puissance pour un signal modulant sinusoïdal est:

$$P_{mod} = P_p \left[1 + \frac{m}{2} \right]^2$$

Puissance en modulation d'amplitude

- Réduction du bilan énergétique
 - Modulation sans porteuse

$$V = A \cos(2\pi f_0 t) \cos(2\pi f_p t + \phi)$$

- Inconvénient: Perte de la fréquence de la porteuse. Le démodulateur ne dispose pas de cette fréquence.

Démodulation

- Processus identique à la modulation
 - Multiplication par la porteuse (démodulation synchrone)

$$V = [A \cos(2\pi f_0 t) \cos(2\pi f_p t + \phi)] \cos(2\pi f_p t + \phi)$$

Démodulation

- Théorème de Plancherel

- Multiplication par la porteuse (démodulation synchrone)

$$y(t) = x(t) \cos(2\pi f_p t)$$

$$Y(f) = \frac{[X(f - f_p) + X(f + f_p)]}{2}$$

$$z(t) = y(t) \cos(2\pi f_p t)$$

$$Z(f) = Y(f) * \frac{\delta(f - f_p) + \delta(f + f_p)}{2}$$

Démodulation

- Théorème de Plancherel

- Multiplication par la porteuse (démodulation synchrone)

$$Y(f) = \frac{[X(f - f_p) + X(f + f_p)]}{2}$$

$$Z(f) = Y(f) * \frac{\delta(f - f_p) + \delta(f + f_p)}{2}$$

$$Z(f) = \frac{[Y(f - f_p) + Y(f + f_p)]}{2}$$

$$Z(f) = \frac{[X(f - f_p - f_p) + X(f + f_p - f_p) + X(f - f_p + f_p) + X(f + f_p + f_p)]}{4}$$

Démodulation

- Théorème de Plancherel
- Multiplication par la porteuse (démodulation synchrone)

$$Z(f) = \frac{[X(f - f_p - f_p) + X(f + f_p - f_p) + X(f - f_p + f_p) + X(f + f_p + f_p)]}{4}$$

$$Z(f) = \frac{[2X(f) + X(f + 2f_p) + X(f - 2f_p)]}{4}$$

Comment retrouver $X(f)$??

Démodulation

- Théorème de Plancherel
- Multiplication par la porteuse (démodulation synchrone)

$$Z(f) = \frac{[2X(f) + X(f + 2f_p) + X(f - 2f_p)]}{4}$$

Filtrage passe-bas: $X(f)/2$

Amplification $\times 2 \Rightarrow X(f)$

Résumé

- Corrélation de signaux:
 - Mesures de similitudes entre des signaux
 - Lien avec la convolution
- Introduction à la modulation